



ความสัมพันธ์ระหว่างฐานกระดูกของรับพื้นกับ ลักษณะการเอียงตัวของฟันหน้าในผู้ป่วย ลักษณะโครงสร้างกะโหลกศีรษะแบบที่สาม

พฤทธิ์ เกียรติวงศ์ ท.บ.¹

ศิริมา เพ็ชรดาชัย ท.บ., Ph.D., อ.ท. (หันตกรรมจัดฟัน)²

วิจิตรศักดิ์ โซลิตกุล วท.บ., ท.บ., อ.ท. (วิทยาการวินิจฉัยโรคซ่องปาก)³

¹นิสิตบัณฑิตศึกษา ภาควิชาทันตกรรมจัดฟัน คณะทันตแพทยศาสตร์ จุฬาลงกรณ์มหาวิทยาลัย

²ภาควิชาทันตกรรมจัดฟัน คณะทันตแพทยศาสตร์ จุฬาลงกรณ์มหาวิทยาลัย

³ภาควิชารังสีวิทยา คณะทันตแพทยศาสตร์ จุฬาลงกรณ์มหาวิทยาลัย

บทคัดย่อ

วัตถุประสงค์ เพื่อศึกษาความสัมพันธ์ระหว่างลักษณะโครงสร้างและรูปร่างของฐานกระดูกของรับพื้นกับการเอียงตัวของฟันหน้า ในผู้ป่วยที่มีโครงสร้างกะโหลกศีรษะแบบที่สาม

วัสดุและวิธีการ เลือกกลุ่มตัวอย่างจากภาพรังสีกะโหลกศีรษะด้านข้างของผู้ป่วยที่มารับการรักษาทางทันตกรรมจัดฟันที่คณะทันตแพทยศาสตร์ จุฬาลงกรณ์มหาวิทยาลัย จำนวน 73 ราย อายุตั้งแต่ 18 ปีขึ้นไป มีค่ามุมเออีนบีน้อยกว่า 1 องศา มีค่าสบเหลี่ยมแนวราบน้อยกว่า 0 มิลลิเมตร นำภาพรังสีมาลดยกความสัมพันธ์ระหว่างโครงสร้างฐานกระดูกของรับพื้นกับการเอียงตัวของฟันหน้า แยกเป็นขั้นกรader บน 3 ตัวแปร ขั้นกรader ล่าง 3 ตัวแปรโดยใช้ค่าสถิติสัมประสิทธิ์สหสัมพันธ์ ที่ระดับนัยสำคัญ 0.05

ผลการศึกษา ผู้ป่วยไทยที่มีลักษณะโครงสร้างกะโหลกศีรษะแบบที่สาม การเอียงตัวของฟันหน้าบันไม่มีความสัมพันธ์ทางสถิติกับความสูงของฐานกระดูกขากรรไกรบนและความกว้างของฐานกระดูกขากรรไกรบนบริเวณปลายรากฟันหน้าบัน และการเอียงตัวของฟันหน้าล่างไม่มีความสัมพันธ์กับความสูงของฐานกระดูกขากรรไกรล่างและความกว้างของฐานกระดูกขากรรไกรล่างบริเวณปลายรากฟันหน้าล่าง (ที่ระดับนัยสำคัญ 0.05)

สรุป ในผู้ป่วยที่มีโครงสร้างกะโหลกศีรษะแบบที่สามพบว่าลักษณะโครงสร้างและรูปร่างของฐานกระดูกของรับพื้นไม่มีความสัมพันธ์ทางสถิติกับการเอียงตัวของฟันหน้าทั้งในขากรรไกรบนและขากรรไกรล่าง

(ว ทันต จุฬาฯ 2557;37:279-88)

คำสำคัญ: การเอียงตัวของฟันหน้า; ค่าสบเหลี่ยมแนวราบ; โครงสร้างกะโหลกศีรษะแบบที่สาม; ฐานกระดูกของรับพื้น

ធម្មោះ

ลักษณะโครงสร้างใบหน้าของผู้ป่วยที่มารับการรักษาทางทันตกรรมจัดฟันมีหลายรูปแบบ ซึ่งลักษณะโครงสร้างใบหน้าแบบที่สาม มักพบได้ในเชื้อชาติมองโกลอยด์มากกว่าเชื้อชาติอื่น ๆ¹ ผู้ป่วยที่มีลักษณะโครงสร้างแบบที่สาม เกิดจากองค์ประกอบร่วมกันของโครงสร้างกระดูกขากรรไกรบนและล่าง กับกระดูกรองรับฟัน โดยเมื่อพิจารณาตำแหน่งทางด้านข้าง จะให้หลักศีรษะ (anteroposterior position) สามารถพบลักษณะความสัมพันธ์ของขากรรไกรบนและล่างที่เป็นไปได้จำแนกเป็น 6 แบบ คือ 1. ขากรรไกรล่างยื่น แต่ขากรรไกรบนปกติ 2. ขากรรไกรบนหลบ แต่ขากรรไกรล่างปกติ 3. ขากรรไกรบนและล่างปกติ 4. ขากรรไกรบนหลบ และขากรรไกรล่างยื่น 5. ขากรรไกรบนและล่างยื่น 6. ขากรรไกรบนและล่างหลบ²

ในการรักษาทางทันตกรรมจัดฟันในผู้ป่วยประเภทนี้ ไม่ว่าจะเป็นการรักษาทางทันตกรรมจัดฟันเพียงอย่างเดียว หรือรักษาโดยทางทันตกรรมจัดฟันร่วมกับการผ่าตัดขากรรไกรก็ตาม การวางแผนและ การเคลื่อนฟันหน้าล่าง เป็นกุญแจสำคัญ ในการวินิจฉัยและการรักษา เราสามารถเคลื่อนฟันหน้าล่างที่ปริมาณมาก มีความจำเป็นเพื่อให้ได้เป้าหมายของการรักษาในแต่ละบุคคล ซึ่งการเคลื่อนฟันนั้นมีปัจจัยหลายอย่าง ที่ต้องพิจารณาด้วยกัน เช่น รูปร่างของกระดูก การวางแผน ตำแหน่งฟันบนกระดูก ลักษณะของเนื้อเยื่ออ่อน เป็นต้น ปัจจัยเหล่านี้มีผลต่อการเกิดผลข้างเคียงในการรักษาทางทันตกรรมจัดฟัน เช่น การเกิดการละลายของรากฟันด้านนอก (external root resorption) การเกิดรอยกระดูกเปิดแยก และช่องกระดูกใหญ่ (bony dehiscence and fenestration), และการเกิดเหงือกร่อน (gingival recession) ได้³⁻⁵

มีการศึกษาหลายเรื่องสรุปว่า ในวัยหนุ่มสาวและวัยผู้ใหญ่ที่มีการสอบฟันผิดปกติแบบที่สามจะพบว่า พื้นหน้าบนมีการเอียงตัวไปข้างหน้ามากกว่าปกติ และพื้นหน้าล่างมีการเอียงตัวไปข้างหลังมากกว่าปกติ อีกทั้งมีแนวแกนพื้นหน้าบนยื่นมากขึ้นและแนวแกนพื้นหน้าล่างจะล้มเข้าด้านลิ้นมากขึ้นตามอายุ เช่นกัน ลักษณะดังกล่าวเป็นการชุดเดียวกันที่ทางโภชนาศึกษาเรียกว่า "กรีฟ" (Grief) หรือ "กรีฟ" (Grief) ซึ่งเป็นการบิดเบี้ยวของกระดูกขากรรไกร

จากการเปรียบเทียบในกลุ่มที่มีการสบเหลื่อมแนวราบแบบปกติ (normal overjet) กับกลุ่มที่มีการสบเหลื่อมแนวราบแบบติดลบ (negative overjet) ของการศึกษา Ishikawa และคอลล์⁹ ได้สรุปว่ากลุ่มที่มีลักษณะสบเหลื่อมแนวราบแบบ

ติดลบ เกิดจากภาระชดเชยของพื้นที่ไม่เพียงพอของโครงสร้าง กระดูกขากรรไกร ซึ่งเป็นขีดจำกัดของการเอียงตัวของพื้น หน้าบันและล่างต่อความสัมพันธ์ของขากรรไกรในแนวหน้า หลังที่แตกต่างกันมากเกินไป

มีการศึกษาหลายรูปแบบในอดีต ที่ใช้ลักษณะแนวประسانกระดูกขากรรไกรล่าง (mandibular symphysis) ใน การศึกษาความสัมพันธ์กับสิ่งต่างๆ เช่น การคาดการณ์ทิศทางการเจริญเติบโตของขากรรไกรล่างทั้งในแนวหน้าหลัง และแนวตั้ง สัดส่วนความสูงของใบหน้า (facial proportion) ปริมาณการสบเหลือมแนวตั้ง (overbite) เป็นต้น¹⁰⁻¹² อย่างไรก็ตาม การศึกษาในผู้ป่วยโดยรวมสร้างใบหน้าแบบที่สามยังไม่มากนัก ผู้จัดจึงสนใจจะศึกษาในกลุ่มผู้ป่วยที่มีโครงสร้างใบหน้าแบบที่สามที่มีการขาดเชยของฟันที่ไม่เพียงพอ ต่อโครงสร้างกระดูกขากรรไกรว่าการอียงตัวของฟันหน้านั้นมีความสัมพันธ์กับลักษณะฐานกระดูกกรองรับฟันหรือไม่ เพื่อใช้เป็นข้อมูลพื้นฐานในการวางแผนการวางแผนการแก้ไข หน้าในการรักษาโดยทางทันตกรรมจัดฟันต่อไป

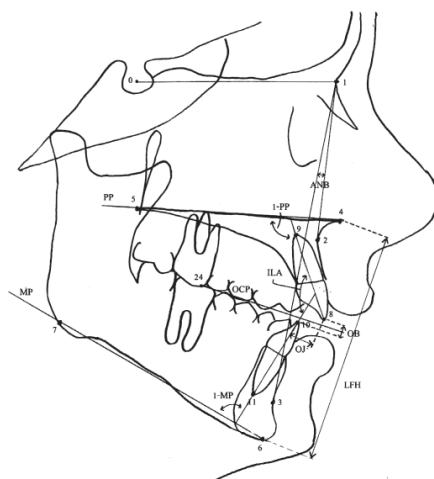
ວັສດຸແລະວິທີການ

ทำการศึกษาข้อมูลจากภาพพังสีของผู้ป่วยที่มารับการรักษาทางทันตกรรมจัดฟัน ที่คณะทันตแพทยศาสตร์ จุฬาลงกรณ์มหาวิทยาลัย และได้รับการถ่ายภาพพังสีกงให้ลอกศีรษะด้านข้างจำนวน 73 ภาพ ในผู้ป่วยอายุมากกว่า 18 ปี ขึ้นไป มีค่ามุม ANB น้อยกว่า 1 องศา มีค่าส่วนเหลือ惰 ทราบน้อยกว่า 0 มิลลิเมตร ไม่เคยได้รับการรักษาทางทันตกรรมจัดฟัน ไม่เคยได้รับอุบัติเหตุที่มีผลต่อโครงสร้างใบหน้า และกะโหลกศีรษะ การถ่ายภาพพังสีดังกล่าวจะทำที่ภาควิชารังสีวิทยา คณะทันตแพทยศาสตร์ จุฬาลงกรณ์มหาวิทยาลัย โดยใช้เครื่องถ่ายภาพพังสีดิจิตอลวัดกะโหลกศีรษะ (Kodak 8000C Digital Panoramic and Cephalometric System, Accord, USA) ใหม่กำลังขยายแบบ 1:1 ค่าความต่างศักย์ระหว่าง 68-70 กิโลโวลต์ กระแสไฟฟ้า 12 มิลลิแอมเปอร์ เวลาในการถ่าย 0.6 วินาที โดยใช้ตัวรับภาพชนิดมีสายพ่วง (Charge-Coupled Device, CCD) ขนาด 8×10 นิ้ว ระยะทางจากแหล่งกำเนิดรังสีเอ็กซ์ไปยังตัวรับภาพเท่ากับ 5 ฟุต และทำการพิมพ์ภาพพังสีด้วยเครื่องพิมพ์เลเซอร์ (Kodak Dry View 8900 Laser Imager, DKSH, USA)

นำภาพังสีกะโนหลกศรีชะด้านข้างของกลุ่มตัวอย่างทั้งหมดมาลงในรายละเอียดส่วนต่างๆ ของกะโนหลกศรีชะลง

บนกระดาษอะซีเตท (ดังแสดงในรูปที่ 1, 2 และตารางที่ 1) และวัดค่ามุมและระยะทางต่างๆ โดยผู้วิจัยคนเดียวกัน นำค่ามุมและระยะวัดต่างๆ มาบันทึกและวิเคราะห์ด้วยโปรแกรม SPSS เพื่อหาความสัมพันธ์ระหว่างระยะที่กำหนดบนฐานกระดูกของรับพันกับการอ้างตัวของพันหน้าในชักร้าวไกรบุนและชักร้าวไกรล่าง (ดังแสดงในตารางที่ 2) โดยใช้ค่าสถิติสัมประสิทธิ์สหสัมพันธ์ ที่ระดับนัยสำคัญ 0.05

หลังจากนั้น 2 สัปดาห์ สมเลือกตัวอย่างภาคังสีมา 10 ภาพ วัดค่าต่างๆ ซ้ำอีกครั้งโดยผู้วิจัยคนเดิม แล้วนำมาเปรียบเทียบกับการวัดครั้งแรกของผู้วิจัยเองและเปรียบเทียบกับผู้เชี่ยวชาญเพื่อทำการทดสอบความเชื่อถือได้จากการวัดของผู้วัด (intraobserver and interobserver reliability) โดยสถิติ paired t-test การศึกษานี้ผ่านการอนุมัติจากคณะกรรมการพิจารณาจริยธรรมการวิจัยในมนุษย์ของคณะทันตแพทยศาสตร์ จุฬาลงกรณ์มหาวิทยาลัย เอกสารเลขที่ จธ. 90/2556



ตารางที่ 1 คำจำกัดความของจุดกำหนดทางกายวิภาคที่ใช้ในการศึกษา

Table 1 Definition of the anatomic landmarks in the study

Anatomic landmark definition

0 : S, Sella turcica	The midpoint of the sella turcica
1 : N, Na, Nasion	The most anterior point of the frontonasal suture
2 : A-point	The most posterior point on the anterior contour of the upper alveolar process
3 : B-point	The most posterior point on the anterior contour of the lower alveolar process
4 : ANS	The most anterior point on the anterior nasal spine
5 : PNS	The most posterior point on the posterior nasal spine
6 : Me	The most inferior point on the mandibular symphysis
7 : Go	Point on the jaw angle
8 : Incision superius incisalis, Isi	The incisal edge of the maxillary central incisor
9 : Incision superius apicalis, Isa	The root apex of the most anterior maxillary incisor
10 : Incisor inferius incisalis, III	The incisal edge of the most prominent mandibular central incisor
11 : Lower inferius apicalis, Iia	The root apex of the most anterior mandibular central incisor
12	Palatal counterpart of A point (2) on palatal cortical bone at same distance from palatal plane as A point
13	Center of rectangle limited by line 2-12 and palatal plane
14	Midpoint of alveolar meatus of maxillary central incisor
15	Intersection between palatal plane and maxillary alveolar axis (maxillary axis runs from midpoint of alveolar meatus of maxillary central incisor through center point of maxillary alveolus)
16	Frontal point of shortest line above apex of maxillary central incisors between maxillary midsagittal labial and palatal alveolar cortical bone
17	Dorsal point of shortest line above apex of maxillary central incisors between maxillary midsagittal labial and palatal alveolar cortical bone
18	Midpoint of the widest symphysis along SN plane
19	Midpoint of alveolar meatus of mandibular central incisor
20	Intersection between symphyssial surface and mandibular alveolar axis
21	Frontal point of shortest line above apex of mandibular central incisors between mandibular midsagittal labial and lingual alveolar cortical bone
22	Dorsal point of shortest line below apex of mandibular central incisors between mandibular midsagittal labial and lingual alveolar cortical bone

ตารางที่ 2 ตัวแปรและคำจำกัดความของตัวแปรที่ใช้ในงานวิจัย**Table 2** Variables and definition used in the study

Variables	Definition
U1PP	Angle between upper incisor inclination and palatal plane
MxABH	Maxillary alveolar and basal height, distance between midpoint of alveolar meatus of maxillary central incisor and intersection between palatal plane and maxillary alveolar axis
MxAD	Maxillary anterior depth, defined as distance between points 16 and 17
L1MP	Angle between lower incisor inclination and mandibular plane (Go-Me)
MdABH	Mandibular alveolar and basal height, distance between midpoint of alveolar meatus of mandibular central incisor and intersection between symphysial surface and mandibular alveolar axis
MdAD	Mandibular alveolar depth, defined as distance between points 21 and 22

ตารางที่ 3 ค่าทางสถิติที่ใช้ในงานวิจัยโดยรวม**Table 3** Overall descriptive statistics of measurements

Parameters	N	Minimum	Maximum	Mean	SD
Age	73	19.58	46.17	28.11	5.46
ANB	73	-7.00	0.50	-1.86	1.81
U1PP	73	95.50	138.50	121.53	7.31
MxABH	73	14.00	36.00	25.52	3.42
MxAD	73	8.00	19.50	13.34	2.91
L1MP	73	62.00	101.50	83.00	8.14
MdABH	73	27.00	43.00	33.42	3.49
MdAD	73	4.00	12.50	7.78	1.85

ตารางที่ 4 แสดงค่าสัมประสิทธิ์สหสัมพันธ์ระหว่างการเอียงตัวของฟันหน้าบน ความสูงของฐานกระดูกขากรรไกรบน และความกว้างของฐานกระดูกขากรรไกรบน บริเวณปลายรากฟันหน้าบน

Table 4 Correlations between upper incisor inclination and upper alveolar bone dimensions

	U1PP	MxABH	MxAD	
U1PP	Pearson Correlation	1	0.19	0.04
Sig. (2-tailed)		0.11	0.72	

ตารางที่ 5 แสดงค่าสัมประสิทธิ์สหสัมพันธ์ระหว่างการเอียงตัวของฟันหน้าล่าง ความสูงของฐานกระดูกขากรรไกรล่าง และความกว้างของฐานกระดูกขากรรไกรล่าง บริเวณปลายรากฟันหน้าล่าง

Table 5 Correlations between lower incisor inclination and lower alveolar bone dimensions

	L1MP	MdABH	MdAD	
L1MP	Pearson Correlation	1	0.09	0.07
Sig. (2-tailed)		0.45	0.59	

ผลการศึกษา

ผลการทดสอบความน่าเชื่อถือของการวัดของผู้วัดเอง และระหว่างผู้วัดเองและผู้เชี่ยวชาญโดยสถิติ paired t-test พบว่าไม่มีความแตกต่างอย่างมีนัยสำคัญทางสถิติที่ระดับนัยสำคัญ 0.05

จากการกลุ่มตัวอย่างผู้ป่วยไทยที่มีโครงสร้างกะโหลกศีรษะแบบที่สาม จำนวน 73 คน (ชาย 26 คน หญิง 47 คน) อายุเฉลี่ย 28.11 ปี มีค่ามุม ANB เฉลี่ย -1.86 องศา พับว่าค่าพารามิเตอร์ของกลุ่มตัวอย่างมีค่าเฉลี่ยและส่วนเบี่ยงเบนมาตรฐานดังปรากฏในตารางที่ 3

จากการวิเคราะห์ทางสถิติ โดยใช้ค่าสถิติสัมประสิทธิ์สหสัมพันธ์ ที่ระดับนัยสำคัญ 0.05 พบว่าในผู้ป่วยที่มีโครงสร้างกะโหลกศีรษะแบบที่สาม การเอียงตัวของฟันหน้าบนไม่มีความสัมพันธ์กับความสูงของฐานกระดูกขากรรไกรบนและความกว้างของฐานกระดูกขากรรไกรบนบริเวณปลายรากฟันหน้าบน ดังปรากฏในตารางที่ 4

รากฟันหน้าบน ดังปรากฏในตารางที่ 4

จากการวิเคราะห์ทางสถิติ โดยใช้ค่าสถิติสัมประสิทธิ์สหสัมพันธ์ ที่ระดับนัยสำคัญ 0.05 พบว่าในผู้ป่วยที่มีโครงสร้างกะโหลกศีรษะแบบที่สาม การเอียงตัวของฟันหน้าล่างไม่มีความสัมพันธ์กับความสูงของฐานกระดูกขากรรไกรล่างและความกว้างของฐานกระดูกขากรรไกรล่างบริเวณปลายรากฟันหน้าล่าง ดังปรากฏในตารางที่ 5

วิจารณ์

ค่าเฉลี่ยและค่าเบี่ยงเบนมาตรฐาน ซึ่งแนะนำให้ใช้สำหรับคนไทยในการศึกษาของ กนก สารเทคน์¹³ ดังนี้ ค่าเฉลี่ยการเอียงตัวของฟันหน้าล่างในคนไทยเพศชายเท่ากับ 97 ± 5 องศา คนไทยเพศหญิงเท่ากับ 99 ± 5 องศา และการเอียงตัวของฟันหน้าบนในคนไทยเพศชายเท่ากับ 120 ± 6 องศา คนไทยเพศหญิงเท่ากับ 119 ± 4 องศา จากการศึกษา

ครั้งนี้พบว่าการเอียงตัวของฟันหน้าเพื่อชดเชยความสัมพันธ์ในแนวหน้าหลังของขากรรไกร จะมีการเอียงตัวไปข้างหลังของฟันหน้าถ่างมากกว่าการเอียงตัวของฟันหน้าของฟันหน้าบน โดยค่าเฉลี่ยของการเอียงตัวของฟันหน้าถ่างเท่ากับ 83 องศา และค่าเฉลี่ยของการเอียงตัวของฟันหน้าบนเท่ากับ 121.5 องศา เมื่อเปรียบเทียบค่าเฉลี่ยและค่าเบี่ยงเบนมาตรฐานจากการศึกษาของ กานก สรเทตน์และการศึกษาครั้งนี้ ถึงแม้ว่าในการศึกษานี้จะไม่ได้แยกเพศในการเปรียบเทียบกับการเอียงตัวของฟันหน้า แต่ค่าเฉลี่ยการเอียงตัวของฟันหน้าถ่างในการศึกษานี้มีค่าน้อยกว่าระยะค่าเฉลี่ยการเอียงตัวของฟันหน้าถ่างของการศึกษาของ กานก สรเทตน์ทั้งเพศชายและเพศหญิง และค่าเฉลี่ยของการเอียงตัวของฟันหน้าบนในการศึกษานี้อยู่ในระยะของค่าเฉลี่ยของการเอียงตัวของฟันหน้าบนของการศึกษาของ กานก สรเทตน์ทั้งเพศชายและเพศหญิง แสดงให้เห็นว่าโดยส่วนใหญ่แล้วการเอียงตัวของฟันเพื่อชดเชยความสัมพันธ์ในแนวหน้าหลังของขากรรไกรจะเกิดในฟันหน้าถ่างมากกว่าฟันหน้าบน

ในการศึกษานี้กลุ่มตัวอย่างใช้ค่า ANB น้อยกว่า 1 องศา¹⁴ และใช้ค่าการลบเหลื่อมแนวราบน้อยกว่า 0 มิลลิเมตร^{9,13} ตามการศึกษาในอดีต เพื่อเป็นตัวแทนผู้ป่วยที่มีลักษณะโครงสร้างกะโหลกศีรษะแบบที่สาม โดยหัวผลให้ได้ลักษณะขีดจำกัดสูงสุดของการเอียงตัวของฟันหน้าบนและถ่างที่ชดเชยไม่เพียงพอต่อโครงสร้างกระดูกขากรรไกรในแนวหน้าหลัง แต่การศึกษาหลายเรื่อง¹⁴⁻¹⁸ พบว่าความเที่ยงตรงของค่ามุม ANB ในการเป็นตัวแทนของความสัมพันธ์ระหว่างขากรรไกรบนและถ่างในแนวหน้าหลังนั้นยังไม่เป็นที่แน่นอนเนื่องจากจุด N ในมุม ANB ไม่ใช่จุดที่คงที่และการหมุนของขากรรไกรบนหรือถ่างต่อจะทำให้ค่ามุม ANB ดังนั้นการใช้ค่าพารามิเตอร์อื่นๆ ที่ใช้ในการดูความสัมพันธ์ของขากรรไกรบนและถ่างในแนวหน้าหลัง เช่น Wits appraisal, The maxillary/mandibular (M/M) ratio เข้ามาเกี่ยวข้องในงานวิจัยด้วยน่าจะเป็นสิ่งที่ดี

จากการศึกษาหลายเรื่อง^{6,19,20} พบความสัมพันธ์ระหว่างลักษณะโครงสร้างกะโหลกศีรษะในแนวตั้งกับสัดส่วนความกว้างและความสูงของฐานกระดูกรองรับฟัน โดยพบว่าลักษณะโครงสร้างกะโหลกศีรษะแบบลบลึก (skeletal deepbite) จะมีสัดส่วนความกว้างและความสูงของฐานกระดูกรองรับฟันมากกว่าลักษณะโครงสร้างกะโหลกศีรษะแบบปกติ (skeletal normal bite) จะมีสัดส่วนความกว้างและ

ความสูงของฐานกระดูกรองรับฟันปกติ และลักษณะโครงสร้างกะโหลกศีรษะแบบลบเปิด (skeletal openbite) จะมีสัดส่วนความกว้างและความสูงของฐานกระดูกรองรับฟันน้อยซึ่งในการศึกษาของผู้วิจัยไม่ได้แยกศึกษาตามลักษณะโครงสร้างกะโหลกศีรษะในแนวตั้งร่วมด้วย การศึกษาในอนาคตหากมีการแยกศึกษาแบ่งกลุ่มเปรียบเทียบลักษณะโครงสร้างกะโหลกศีรษะในแนวตั้งร่วมกับการเอียงตัวของฟันหน้าร่วมด้วย อาจเห็นความสัมพันธ์ในรูปแบบที่เพิ่มมากขึ้น

ในด้านการวัดรูปร่างของฐานกระดูกรองรับฟัน ผู้วิจัยได้อ้างอิงตัวแปรบางส่วนตามการศึกษาของ Beckmann และคณะ^{11,12} แต่จากการวิจัยนี้ ผู้วิจัยพบว่าลักษณะของฐานกระดูกรองรับฟันหน้าบนมีรูปร่างลักษณะคล้ายรูปสามเหลี่ยมทำให้ค่าความกว้างของฐานกระดูกขากรรไกรบนบริเวณปลายรากฟันหน้าบน (MxD) มีการเปลี่ยนแปลงมากเมื่อความยาวของรากฟันเปลี่ยนไป ดังนั้นการวัดฐานกระดูกรองรับฟันหน้าบนในรูปแบบความกว้างของฐานกระดูกขากรรไกรบนบริเวณปลายรากฟันหน้าบน จึงอาจไม่เหมาะสมสมนักในการเป็นตัวแทนปัจจัยด้านหนึ่งของกระดูกรองรับรากฟัน ในการเปรียบเทียบความสัมพันธ์กับขีดจำกัดของการเอียงตัวของฟันหน้าบน จึงแนะนำให้ใช้การวัดรูปแบบอื่นแทนการวัดด้วยวิธีดังกล่าว

จากทฤษฎีการสมดุลของแรง (equilibrium theory)²¹ ได้อธิบายว่าการที่วัตถุใดจะคงที่อยู่ได้นั้นแรงที่กระทำต่อวัตถุนั้นจะต้องสมดุลกันในแต่ละด้าน ดังนั้นจึงมิอาจสรุปได้ทั้งหมดว่าผู้ป่วยที่มีลักษณะโครงสร้างกะโหลกศีรษะแบบที่สามจะมีการเอียงตัวของฟันหน้าถ่างไปด้านหน้าสูงสุดและมีการเอียงตัวของฟันหน้าถ่างไปด้านหลังสูงสุดเพื่อชดเชยความเหลื่อมล้ำของโครงสร้างกระดูกขากรรไกรในแนวหน้าหลังที่มากเกินไป เพราะในคนแต่ละคนนั้นย่อมจะมีแรงที่มาเกี่ยวข้องกับการเอียงตัวของฟันหน้าในหลายรูปแบบไม่เท่ากัน เช่น แรงจากการบดเคี้ยว แรงจากการกัดลิ้น แรงการเนื้อเยื่ออ่อน แรงจากอุบปนิสัยส่วนตัว เป็นต้น

สรุป

ในผู้ป่วยที่มีโครงสร้างกะโหลกศีรษะแบบที่สามนั้น ลักษณะโครงสร้างและรูปร่างของฐานกระดูกรองรับฟันทั้งในแนวสูงและแนวกว้างไม่มีความสัมพันธ์ทางสถิติกับการเอียงตัวของฟันหน้าทั้งในขากรรไกรบนและขากรรไกรล่าง

กิตติกรรมประกาศ

ผู้วิจัยขอบพระคุณ ผู้ช่วยศาสตราจารย์ ทันตแพทย์ สมศักดิ์ เจริญภากรณ์ ที่ให้ความกรุณาเป็นผู้เชี่ยวชาญในการทดสอบความน่าเชื่อถือของข้อมูลที่ใช้ในการวิจัย และขอขอบคุณภาควิชาทันตกรรมจัดฟันและภาควิชาสร้างสุขภาพคณะทันตแพทยศาสตร์ จุฬาลงกรณ์มหาวิทยาลัย ในความเอื้อเฟื้อการสืบค้นข้อมูลและภาพรังสีกะโหลกศีรษะด้านข้าง ที่ใช้ในการวิจัย

เอกสารอ้างอิง

1. Mouakeh M. Cephalometric evaluation of craniofacial pattern of Syrian children with Class III malocclusion. *Am J Orthod Dentofacial Orthop.* 2001;119:640-9.
2. Spalj S, Mestrovic S, Lapter Varga M, Slaj M. Skeletal components of class III malocclusions and compensation mechanisms. *J Oral Rehabil.* 2008;35:629-37.
3. Artun J, Krogstad O. Periodontal status of mandibular incisors following excessive proclination. A study in adults with surgically treated mandibular prognathism. *Am J Orthod Dentofacial Orthop.* 1987;91:225-32.
4. Fuhrmann RAW. Three-dimensional evaluation of periodontal remodeling during orthodontic treatment. *Seminars in Orthodontics.* 2002;8:23-8.
5. Wingard CE, Bowers GM. The effects of facial bone from facial tipping of incisors in monkeys. *J Periodontol.* 1976;47:450-4.
6. Ellis E, McNamara JA. Components of adult Class III malocclusion. *J Oral Maxillofac Surg.* 1984; 42:295-305.
7. Guyer EC, Ellis EE, McNamara JA, Behrents RG. Components of class III malocclusion in juveniles and adolescents. *Angle Orthod.* 1986;56:7-30.
8. Miyajima K, McNamara JA, Sana M, Murata S. An estimation of craniofacial growth in the untreated Class III female with anterior crossbite. *Am J Orthod Dentofacial Orthop.* 1997;112:425-34.
9. Ishikawa H, Nakamura S, Iwasaki H, Kitazawa S, Tsukada H, Chu S. Dentoalveolar compensation in negative overjet cases. *Angle Orthod.* 2000;70:145-8.
10. Aki T, Nanda RS, Currier GF, Nanda SK. Assessment of symphysis morphology as a predictor of the direction of mandibular growth. *Am J Orthod Dentofacial Orthop.* 1994;106:60-9.
11. Beckmann SH, Kuitert RB, Prahl-Andersen B, Segner D, The RP, Tuinzing DB. Alveolar and skeletal dimensions associated with lower face height. *Am J Orthod Dentofacial Orthop.* 1998;113: 498-506.
12. Beckmann SH, Kuitert RB, Prahl-Andersen B, Segner D, The RP, Tuinzing DB. Alveolar and skeletal dimensions associated with overbite. *Am J Orthod Dentofacial Orthop.* 1998;113:443-52.
13. Sorathesn K. Craniofacial norm for Thai in combined orthodontic surgical procedure. *J Dent Assoc Thai.* 1988;38:190-201.
14. Enlow DH. A morphogenetic analysis of facial growth. *Am J Orthod Dentofacial Orthop.* 1966; 52:283-99.
15. Ferrazzini G. Critical evaluation of the ANB angle. *Am J Orthod Dentofacial Orthop.* 1976;69:620-6.
16. Jacobson A. The "Wits" appraisal of jaw disharmony. *Am J Orthod Dentofacial Orthop.* 2003;124:470-9.
17. Moore AW. Observations on facial growth and its clinical significance. *Am J Orthod Dentofacial Orthop.* 1959;45:399-423.
18. Taylor CM. Changes in the relationship of nasion, point A, and point B and the effect upon ANB. *Am J Orthod Dentofacial Orthop.* 1969;56:143-63.
19. Dung DJ, Smith RJ. Cephalometric and clinical diagnoses of open bite tendency. *Am J Orthod*

- Dentofacial Orthop. 1988;94:484-90.
20. Subtelny JD, Sakuda M. Open-bite: Diagnosis and treatment. Am J Orthod Dentofacial Orthop. 1964; 50:337-58.
21. Proffit WR, Fields Jr HW, Sarver DM, Contemporary Orthodontics. 4th ed. St Louis: Mosby, 2007: 145-9.

Relationship between alveolar bone dimensions and incisor inclination in skeletal Class III patients

Pruet Kiattiwongse D.D.S.¹

Sirima Petdachai D.D.S., Ph.D., (Orthodontics), Thai Board Orthodontics²

Wichitsak Cholitgul B.Sc., D.D.S., Diplomate, Thai Board in Oral Diagnostic Science³

¹Graduate student, Department of Orthodontics, Faculty of Dentistry, Chulalongkorn University

²Department of Orthodontics, Faculty of Dentistry, Chulalongkorn University

³Department of Radiology, Faculty of Dentistry, Chulalongkorn University

Abstract

Objective To investigate the relationship between alveolar bone dimensions and incisor inclination in skeletal Class III patients.

Materials and methods Selected samples from digital lateral cephalometric radiographs of 73 skeletal Class III patients from Department of Orthodontics, Faculty of Dentistry, Chulalongkorn University, aged more than 18 years, ANB less than 1°, overjet less than 0 mm. were examined. Hand on tracing to investigate relationships between the alveolar bone dimensions and incisor inclination that divided on maxilla and mandible as 3 variables. The Pearson correlation was used for statistical analysis (p value = 0.05).

Results In skeletal Class III patients, in the upper arch, there was no statistical significance between upper incisor inclination and Maxillary alveolar and basal height (MxABH) and between upper incisor inclination and Maxillary anterior depth (MxAD) as well as in the lower arch that there was no statistical significance between lower incisor inclination and Mandibular alveolar and basal height (MdABH) and between lower incisor inclination and Mandibular alveolar depth (MdAD) (p value = 0.05).

Conclusion There is no correlation between alveolar bone dimensions and incisor inclination in skeletal Class III patients.

(CU Dent J. 2014;37:279–88)

Key words: *alveolar bone dimensions; incisor inclination; overjet; skeletal Class III*

Correspondence to Sirima Petdachai, sirima-c@hotmail.com